

الخصائص الفيزيوكيميائية والميكانيكية والتشخيصية

لأغلفة البكتين القابلة للأكل

**The physicochemical, mechanical, and diagnostic properties
of edible pectin-based films.**

إعداد

روضه محمود علي

Rawdah M.Al-Ali

نعم فرحان ربيع

Naghm F .Al-Qatrani

بتول محمود محمد

Batool Al Ansari

جامعة البصرة / كلية الزراعة / قسم علوم الاغذية

Doi: 10.21608/asajs.2025.443282

استلام البحث : ٢٠٢٥ / ٤ / ٥

قبول النشر : ٢٠٢٥ / ٥ / ٢٢

ربيع، نعم فرحان وعلي، روضة محمود ومحمد، بتول محمود (٢٠٢٥). **الخصائص
الفيزيوكيميائية والميكانيكية والتشخيصية لأغلفة البكتين القابلة للأكل.** المجلة العربية
للعلوم الزراعية، المؤسسة العربية للتربية والعلوم والأداب، مصر، ٢٧(٨)، ٥١-٧٤.

<http://asajs.journals.ekb.eg>

الخصائص الفيزيوكيميائية والميكانيكية والتشخيصية لاغلفة البكتين القابلة للأكل المستخلص:

يهدف البحث الحالي الى دراسة الخصائص الفيزيوكيميائية والميكانيكية لاغلفة القابلة للأكل المحضرة من البكتين بتركيز ١٪ والكليسيروول كملدن بتركيز ٥٠٪ و ٧٠٪، وقد اثر تركيز البكتين والكليسيروول على خصائص الغلاف القابل للأكل بشكل ملحوظ ، اذ لوحظ زيادة في السمك والاذابة و النسبة المئوية للاستطاله ونفاذية بخار الماء، في حين لوحظ انخفاض قوة الشد ونفاذية الضوء والشفافية مع زيادة تركيز الكليسيروول من ٥٠٪ - ٧٠٪ . واظهر منحنى TGA ان اقصى فقدان للوزن ٦٣.٣٦١٪ حدث بين درجة حرارة ١٩٥.٩٦ - ٣٥٨.٤٦ م بسبب تحلل البوليمر اما نتائج تحليل FTIR بيـنت ظهور قمة مجاميع فعالة عند العدد ١٦٣١.٤٨ سـم-١ مما يدل على وجود مجاميع الكاربوكسيل COO⁻ ، وأشارت نتائج فحص DSC انخفاضاً كبيراً في تدفق الحرارة وظهور قمة للأسفل، كانت في مدى حراري من درجة حرارة المختبر الى حوالي درجة حرارة ١٠٠ م ويشير هذا الى فقدان الماء او المذيب المتبقى من الغلاف.

Abstract

The present study aims to investigate the physical and mechanical properties of edible films prepared from pectin at a concentration of 1% and plasticized with glycerol at concentrations of 50% and 70%. The concentrations of pectin and glycerol significantly influenced the properties of the edible films. An increase was observed in thickness, solubility, elongation at break (%), and water vapor permeability with the increase in glycerol concentration from 50% to 70%. In contrast, tensile strength, light transmission, and transparency decreased with higher glycerol content. The TGA curve showed a maximum weight loss of 63.361% occurring between 195.96°C and 358.46°C due to polymer decomposition. FTIR analysis revealed the presence of characteristic peaks in the range of 1740–1750 cm⁻¹, indicating the existence of carboxyl groups (COO⁻). Additionally, DSC results showed a significant decrease in heat flow, with a downward peak appearing in the temperature

range from room temperature to approximately 100°C, which is attributed to the loss of water or residual solvent from the film.

المقدمة :

استعملت مواد التغليف الصناعية على نطاق واسع في تغليف الأغذية ، وبسبب المخاوف بشأن البيئة وصحة الإنسان شجعت على استعمال مواد تغليف قابلة للتحلل الحيوي بدلاً من التغليف الصناعي ، اذ تعمل مواد تغليف الأغذية على حماية الأغذية من الملوثات مثل الاحياء المجهرية وتمنع انتقال بخار الماء ، بالإضافة إلى كبح جذور الأوكسجين الضارة والأشعة فوق البنفسجية، تعد البوليمرات الحيوية من أكثر مواد التغليف الطبيعية شيوعاً نظراً لطبيعتها غير السامة، وقابليتها للتخلل الحيوي، علاوة على ذلك فهي صديقة للبيئة تعمل على تحسين الجودة الحسية والقيمة الغذائية للمنتجات المغلفة (Kusuma et al., 2024; Kannan et al., 2023). تستعمل البوليمرات الحيوية مثل البروتينات والدهون والسكريات المتعددة بشكل واسع في تصنيع مواد التغليف ، تعرف السكريات المتعددة بأنها بوليمرات طبيعية على شكل سلاسل طويلة مكونة من وحدات من السكريات الاحادية او الثنائية المرتبطة مع بعضها البعض بواسطة الاواصر الكلايوكسيدية، توجد بشكل كبير في الطبيعة وهي مواد رخيصة الثمن، ويمكن تصنيفها حسب مصدرها الى سكريات حيوانية وسكريات ميكروبية وسكريات بحرية (Saklani et al., 2019). تتمتع السكريات المتعددة بقابليتها على تشكيل الأغلفة بسبب خصائصها الميكانيكية والهيكلية الممتازة وتم استعمالها على نطاق واسع في انتاج الاغلفة القابلة للأكل ولكن تظهر حساسية عالية لبخار الماء بسبب طبيعتها المحبة للماء ويمكن تحسين خصائصها الجزئية والميكانيكية وذلك باضافة المواد الملدنة او دمج السكريات المتعددة المختلفة مع بعضها (Marangoni Gunior et al., 2021; Huang et al., 2021; Rajeswari et al., 2021).

البكتينات هي عبارة عن مزيج معقد من السكريات المتعددة وهي جزءاً من جدار الخلية في النباتات يتم استخراجها من قشور الحمضيات وقشور التفاح و تتألف البكتينات من سلسلة طويلة من وحدات حامض الكالاكتورونيك المؤسترة بمجموعة المثيل المرتبطة مع بعضها بأصارة كلايوكسيدية $\alpha-1,4$ ، اذ تؤثر درجة الاسترة على خواص الذوبان والتصلب للبكتين، فإذا كانت درجة الاسترة أكثر من ٥٠٪، يعد البكتين عالي الميثوكسيل، وإذا كانت أقل من ٥٠٪، فهو واطئ الميثوكسيل، ولديه القدرة على تكوين الشبائك مع أيونات الكالسيوم لتكوين الهلام والمربيبات وهو مادة جيدة لتغليف المواد الغذائية نظراً لقابليتها

للتخلل الحيوي، وخصائصه الهلامية وعدم سميته ولتحسين الخصائص الوظيفية للأغلفة البكتين يتم مزجه مع بوليمرات أخرى مثل البروتينات والدهون والسكريات المتعددة (Subroto et al., 2022;Marangoni Júnioret al., 2021 ; Kannan et al ٢٠٢٣) .

يعد البكتين من البوليمرات الطبيعية التي يتأثر سلوكها بشكل كبير بالعوامل الداخلية المرتبطة بتركيبه الجزيئي أو بالعامل الخارجية مثل الأس الهيدروجيني، التركيب الأيوني، درجة الحرارة والرطوبة ، هذه العوامل تؤثر على قدرة البكتين على الترطيب، الذوبان، وسلوكه في تكوين الهلام، كما أن له قدرة على حجز الماء داخل الهمامات التي يشكلها إضافة إلى خصائصه الفيزيائية والكيميائية، يلعب دوراً مهماً في الحماية الطبيعية للنباتات، كما أنه يقدم فوائد صحية متعددة للإنسان ، تشمل هذه الفوائد دوره كعامل منظم للمناعة وبروبيوتيك، بالإضافة إلى خصائصه كمضاد للتكتاثر الخلوي، مضاد للأكسدة، مضاد للميكروبات يساعد في تقليل مستويات الكوليستيرول والسكر في الدم (Miran et al ٢٠٢٣ ; Dang et al., 2024) .

يستعمل البكتين في تصنيع أغلفة قابلة للأكل ذات سطح لامع وغير لزجة، اذ تتميز هذه الأغلفة بنفاذية عالية لخارج الماء نتيجة لطبيعة البكتين المحببة للماء تفضل الأغلفة المصنوعة من السكريات المتعددة، خصوصا في صناعة الأغذية، نظراً ل蔓انتها الميكانيكية الممتازة وقدرتها الجيدة على حجب الأوكسجين وثنائي أوكسيد الكاربون في بيئات ذات رطوبة منخفضة إلى متوسطة (Nair et al., 2020 ; Kusuma et al ٢٠٢٤) .

تهدف الدراسة الحالية الى تحضير اغلفة قابلة للأكل باستعمال تراكيز مختلفة من البكتين والمادة الملونة الكليسيرون ودراسة خصائصها النوعية والتشخيصية.

المواد وطرق العمل

المواد

استعملت المواد الكيميائية في هذه الدراسة من النوع التحليلي طرائق العمل

تحضير اغلفة البكتين

حضرت محليل اغلفة البكتين حسب طريقة Guas et al (٢٠١٣) مع اجراء بعض

الخصائص الفيزيوكيميائية واليكانيكية والتشخيصية لاغلفة البكتين ...، تغمد رباعي وآخرون

التحويرات البسيطة، اذ ذوب البكتين ببطء في الماء المقطر بتركيز .٥٪ ، .١٪ و .٧٪ على التوالي، ثم

واضيف الكليسيرول كملدن بتركيز .١٪ ، .٣٪ ، .٥٪ و .٧٪ على التوالي، ثم سخنت المحاليل الى درجة حرارة .٧٠ درجة مئوية وصبت في اطباق بتري قطر .٩ سم و بحجم .١٥ مل ثم جففت الاطباق عند درجة حرارة الغرفة .٢٥ م - .٣٠ م ولمدة ثلاثة ايام بعدها كييفت على رطوبة نسبية .٥٢٪ لحين اجراء الفحوصات اللاحقة.

تقدير السمك وقوه الشد والاستطالة حد القطع:

تم تحديد سمك، قوة الشد، والاستطالة المئوية عند الكسر لأغشية العينات المنتجة. استخدم في القياس جهاز تحليل القوام (Texture Analyzer) الموجود في مركز أبحاث البوليمرات التابع لجامعة البصرة. اعتمدت عملية تحضير العينات على الطريقة القياسية رقم (D-٨٨٢-١٠). الصادرة عن الجمعية الأمريكية لاختبار المواد (ASTM). تم الاستناد في وصف الإجراءات إلى المنهجية التي قدمها Gheorghita وآخرون في عام .٢٠٢٠.

تقدير قابلية الأغشية على الإذابة بالماء

قدرت قابلية الأغشية للإذابة بالماء حسب طريقة Jancikova et al. وذلك بحساب النسبة المئوية لمادة الأغشية الذائبة بعد ٢٤ ساعة من الغمر في الماء المقطر. اذ قطعت الأغشية الى قطع مربعة بابعاد .٢×٢ سم وجففت على .١٠٥ م لحين ثبات الوزن وزُونَت بدقة بميزان حساس ثم غمرت ب .٥٠ مل من الماء المقطر عند .٢٥ م وجففت مرة أخرى على نفس الدرجة ثم اعيد وزنها للحصول على الوزن النهائي.

حسبت قابلية الأغشية على الإذابة بالماء وفقاً للمعادلة الآتية:

$$\frac{\text{الوزن الابتدائي للعينة (غم)} - \text{الوزن النهائي للعينة (غم)}}{\text{الذوبانية (\%)}} \times 100 =$$

الوزن الابتدائي للعينة (غم)

تقدير نفاذية الأغشية لبخار الماء:

تم تحديد معدل نفاذية بخار الماء (WVTR) للأغشية باستخدام الطريقة القياسية E-٩٦ ASTM، مع بعض التعديلات الطفيفة على الإجراء الموصوف من قبل Mehdizadeh وآخرون (٢٠١٦). تضمنت التجربة استخدام أووعية بلاستيكية دائرية بقطر خارجي .٣.٩ سم، وقطر داخلي .٣.٧٥ سم، وعمق .٦٢.٥ سم.

تم ملء كل وعاء ب ١٠ مل من الماء المقطر، ثم تم تغطية فتحة الوعاء بغشاء دائري الشكل، بحيث يتجاوز قطر الغشاء قليلاً القطر الخارجي للوعاء. لضمان إحكام الإغلاق، تم تثبيت الغشاء على فوهة الوعاء باستخدام حلقة مطاطية مزدوجة. بعد ذلك، تم وزن الوعاء ومحتواه من الماء، ثم وضع في مجفف يحتوي على كبريتات النحاس اللامائية كمادة مجففة. سُجلت قراءات الوزن كل ٦ ساعات حتى الوصول إلى وزن ثابت. بالإضافة إلى ذلك، تم قياس المسافة العمودية بين سطح الماء داخل الوعاء وسطح الغشاء. تم تكرار هذه العملية مرتين لكل عينة. لاحقاً، تم حساب نفاذية بخار الماء بناءً على البيانات المسجلة، وفقاً للمعادلات التالية: "أولاً: يتم حساب معدل انتقال بخار الماء

حسب المعادلة التالية وكما يلي:

$$WVT = G/tA = (G/t)/A$$

الفقد في الوزن (غم) = G

مقدار وقت التجربة (ساعة) = T

مقدار الانحدار عن الخط المستقيم (غم / ساعة) = Slop = G/t

وذلك برسم علاقة ما بين الفقد في الوزن (غم) مع مرور الوقت (ساعة) وصولاً إلى ثبات الوزن.

A = مساحة الغشاء (م^٢)

WVT = معدل انتقال بخار الماء(غم/ساعة. م^٢)

ثانياً: يتم حساب مقدار النفاذية لبخار الماء من المعادلة التالية

$$\text{Permeance} = WVT/\Delta p = WVT/S (R1 - R2)$$

$$WVP = WVT/S \times (R1-R2)$$

S = مقدار ضغط بخار الماء المشبع عند درجة حرارة ٢٥ م°

R = مقدار الرطوبة التي تم تكييف الغشاء عليها (%) ٥٢

R_٢ = مقدار الرطوبة في المجفف (%) ٠٠

تقدير نفاذية الضوء والشفافية للأغلفة المحضرة

قدر نفاذية الضوء للأغلفة وذلك باستعمال جهاز السبيكتروفوتومتر التابع إلى قسم الفيزياء - جامعة البصرة على الطول الموجي ٦٠٠ نانومتر وحسب الطريقة التي وصفها al Niroomand et al. (٢٠١٦).

الاختبارات التشخيصية

Fourier Transform Infrared FTIR **التخيص بالأشعة تحت الحمراء** **Spectrophotomet**

الخصائص الفيزيوكيميائية واليكانيكية والتشخيصية لاغلفة البكتين ...، تغطه رباعي وآخرون

تم تشخيص غلاف البكتين المحضر بتركيز ١٪ والكليسيرول ٥٪ بجهاز الاشعة تحت الحمراء FTIR-8400S في مركز ابحاث البوليمر / جامعة البصرة.

التشخيص بتقنية التحلل الحراري الوزني Thermo gravimetric analysis TGA

التابع لكلية التربية للعلوم TGA - ٥٠ جهاز TGA شخص الغلاف المحضر قيد الدراسة بتقنية

الصرف / قسم الكيمياء / جامعة البصرة

التشخيص بتقنية التحلل الحراري التفاضلي المسرعي Differential scanning calorimetry analysis DSC

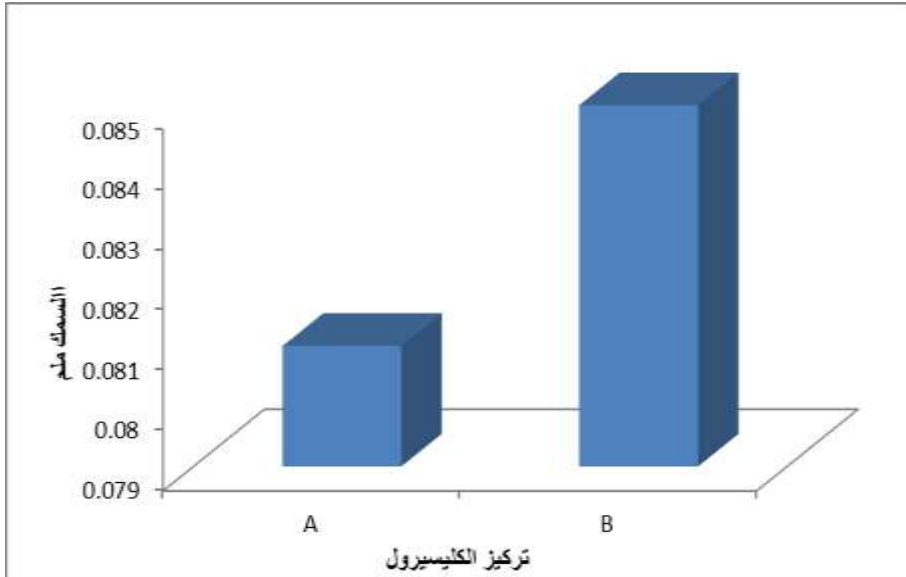
تم تشخيص الغلاف قيد الدراسة بتقنية التحلل الحراري المسرعي بجهاز TA Q100-DSC التابع لمركز ابحاث البوليمر / جامعة البصرة.

النتائج والمناقشة:

وصفت الاغلفة المحضرة من البكتين بتركيز ٥٪ ، ٣٠٪ ، ١٠٪ و ٥٠٪ كليسيرول بانها رقيقة جداً يصعب ازالتها من الاطباق ولزجة جداً ، اما الاغلفة المحضرة من البكتين بتركيز ١٪ و ٣٠٪ كليسيرول فكانت هشة سهلة التمزق عند ازالتها من الاطباق ، في حين تميزت الاغلفة المحضرة بتركيز ١٪ وكليسيرول بتركيز ٥٪ و ٧٪ بالشفافية واللمعان ونعومة الملمس ويمكن نزعها من الطبق بسهولة وذات لون مائل للاصفرار ، بينما اتسمت كل الاغلفة المحضرة من البكتين بتركيز ١٥٪ و كل التراكيز من الكليسيرول بانها سميكه ، غير شفافة ومعتمة ، ونظرًا لصعوبة اجراء الفحوصات اللاحقة عليها اهملت هذه التراكيز.

سمك الغشاء:

يوضح الشكل (١) سمك الاغلفة المحضرة من البكتين بتركيز ١٪ والملندة بالكليسيرول بتركيز ٥٪ و ٧٪ ، اذ لوحظ وجود اختلاف في السمك بزيادة تركيز مادة الغلاف وتركيز الكليسيرول ، اذ بلغ سمك الاغلفة المحضرة من ١٪ و ٥٪ كليسيرول ٠٠٨١ ملم بينما بلغ ٠٠٨٥ ملم عند زيادة تركيز الكليسيرول الى ٧٪ ، عزي سبب زيادة سمك الأغلفة الى حدوث تداخل للمادة المكونة للغلاف مع المادة الملندة مما ادى الى زيادة المواد الصلبة وبالتالي زيادة تماسك الغلاف ولا بد من الاشارة الى ان السمك يمكن ان يزداد مع زيادة نسبة الملنن (الكليسيرول) نتيجة التداخل بين مكونات الملنن مع مكونات الغشاء مما يجعل الغشاء اكثر سمكا (٢٠١٨) ..Khairunnisa et al)



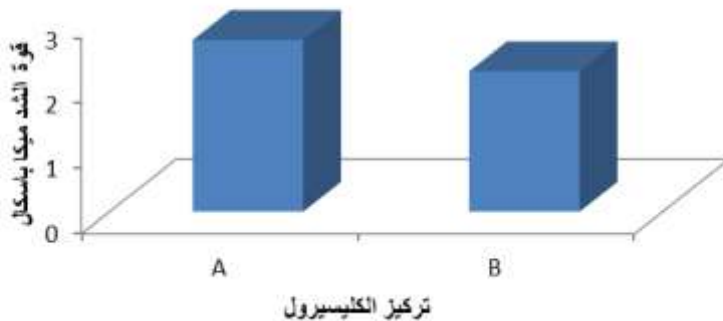
شكل (١) سمك اغلفة البكتين A : بكتين ١٪ وکلیسیروول ٥٠٪ , B : بكتين ١٪ وکلیسیروول ٧٠٪

اتفقنا النتائج مع ما وجد al Dhanapal et al (٢٠١٢) عند دراستهم لخواص الاغلفة المحضررة من البكتين اذ وجد ان سمك الاغلفة ازداد من ٠.٠٦ ملم - ٠.١١ ملم عند زيادة تركيز البكتين من ٠.٧٥ الى ١.٢٥ %, كما لاحظ Singh et al. (٢٠١٥) زيادة سمك اغلفة الكايتوسان من ١٠٥ - ١١١ ميكرومتر عند زيادة تركيز الكايتوسان من ١.٥ - ٢.٥ % و بين Karlan and Rahmadhia (٢٠٢٢) ان سمك الاغلفة المحضررة من بكتين قشور البرتقال ازداد من ١٥ - ١٤٩ ملم عند زيادة تركيز البكتين من ١٥ - ٣٥ % والكلسيروول من ١٠ - ٣٠ %, و ذكر al Apriliyani et al (٢٠٢٠) ان سمك الاغلفة القابلة للأكل يتاثر بطبيعة المركبات الغروية وبالتالي بين مكونات مادة الغلاف, لذا يجب تعديل سمك الغلاف القابل للأكل عند الاستعمال حسب المنتج الذي يتم تعبئته (Fransisca et al., 2020; Khairunnisa et al ٢٠١٨, Racmayani and Husni ٢٠٢٠).

قوة الشد :

يبين الشكل (٢) قوة الشد لاغلفة البكتين المحضره بتركيز ١٪ والمملنة بالكليسيرول بتركيز ٥٠٪ اذ يلاحظ انخفاض قوة شد الاغلفة بزيادة تركيز الكليسيرول اذ بلغت ٢.٦٤ ميكاباسكال للأغلفة المحضره من البكتين بتركيز ١٪ و ٥٠٪ كليسيرول بينما بلغت ٢.١٦ ميكاباسكال للأغلفة المحضره من البكتين بتركيز ١٪ و ٧٠٪ كليسيرول ، ادت زيادة الكليسيرول الى زيادة المسافات البينية بين جزيئات البوليمر وزيادة الحجم الحر بين جزيئات البوليمر على الرغم من زيادة تركيز البكتين وبالتالي انخفاض قوة شد للأغلفة

(Costanza et al.,2019;Febriyanti et al.,2023)



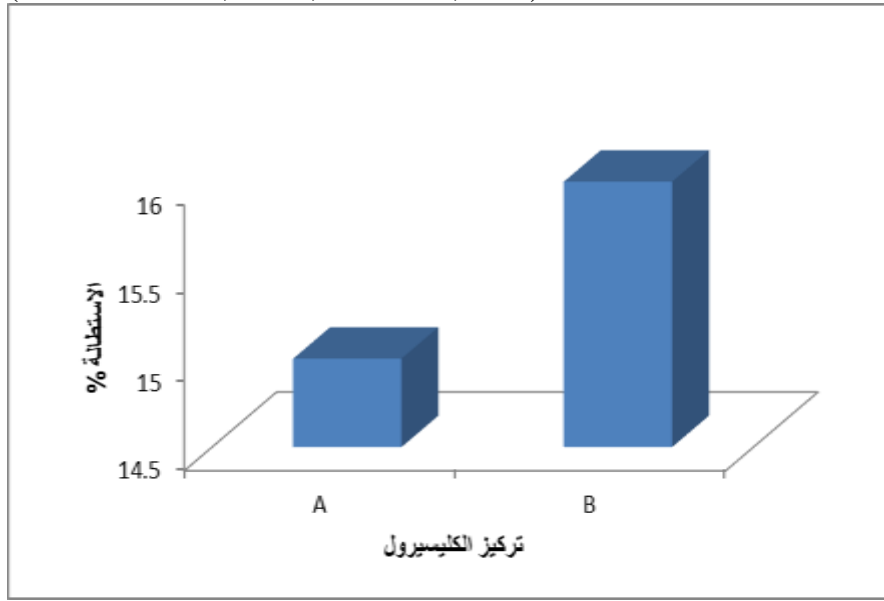
شكل (٢) قوة شد اغلفة البكتين A : بكتين ١٪ وكليسيرول ٥٠٪، B : بكتين ١٪ وكليسيرول ٧٠٪

اتفقنا النتائج مع ما توصل اليه (Asfaw et al. ٢٠٢٣). اذ لوحظ انخفاض قوة الشد للأغلفة المحضره من البكتين عند زيادة تركيز البكتين من ٣ - ٥٪ والكليسيرول بالتركيز ١٥ - ٢٥٪ ذكر ان زيادة تركيز الكليسيرول الى ٧٠٪ ادى الى زيادة الحجم الحر بين الجزيئات وبالتالي زيادة حركة سلاسل البوليمر وانخفاض قوة الشد للأغلفة المحضره. بين Racmayani and Husni (٢٠٢٠) ان السبب في زيادة قوة الشد تعود الى زيادة الروابط بين الجزيئات المكونة لسلسلة البوليمر المكونة للغلاف وبالتالي يجعل الغلاف اكثر صلابة وهشاشة بدون اضافة الملنن. كانت النتائج اقل مع مواجهه Galus et al (٢٠١٣) اذ لوحظ زيادة قوة الشد لاغلفة

البكتين من ٨.٩ - ١٤.١٪ ميكاباسكار عند زيادة تركيز البكتين من ١.٥ - ٢.٥٪ والكليسيرول من ٥٠ - ٧٠٪ .
النسبة المئوية للاستطالة :

تعد الاستطالة عند الكسر صفة أساسية بالنسبة للاغلفة فهي تقيس لدونتها، وتشير الى قدرة الغلاف على مقاومة تغيرات الشكل اثناء تطبيقها على الغذاء دون تمزق ويظهر من الشكل (٣) ان اعلى نسبة استطالة بلغت ١٦٪ للغلاف المحضر من ١٪ بكتين و ٧٠٪ كليسيرول واقل نسبة استطالة بلغت ١٥٪ للغلاف المحضر من ١٪ بكتين و ٥٠٪ كليسيرول ويلاحظ من الشكل اذ كلما زاد تركيز الكليسيرول زادت نسبة الاستطالة ويعزى سبب ذلك الى الاصرة الجزيئية الموجودة بين البوليمر والمليدانات اذ ان وجود المليدان بين سلاسل البوليمر يجعلها اكثر حرية في الحركة وتزداد مروونتها تؤدي المليدانات الى زيادة استطالة اغلفة البوليمرات الحيوية.

(Costanza et al.,2019 ;Gao et al.,2017)



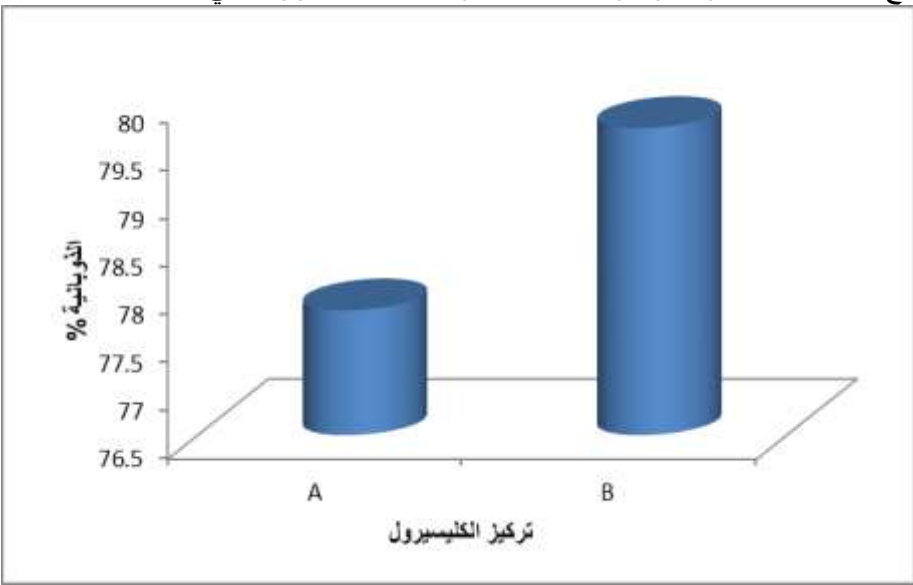
شكل (٣) استطالة اغلفة البكتين A : بكتين ١٪ وكليسيرول ٥٠٪ ، B : بكتين ١٪ وكليسيرول ٧٠٪

اتفقت النتائج مع ما توصل اليه Asfaw et al (٢٠٢٣) اذ تبين ان استطالة الاغلفة المحضرة من البكتين ازدادت من ٢٢.١ - ٢٨.٦٪ عند زيادة تركيز البكتين ٣ - ٥٪ وكليسيرول من ١٥ - ٢٥٪ ويعزى السبب الى ان زيادة تركيز

الخصائص الفيزيوكيميائية واليكانيكية والتشخيصية لاغلفة البكتين ...، تغمد ربيع وآخرون

الكليسيرول ادت الى زيادة المسافات البينية بين جزيئات البوليمر وزيادة الحجم الحر وبالتالي زيادة الاستطالة ، وكذلك توافقت النتائج مع ما وجده al Galus et al (٢٠١٣) اذ ان استطالة الاغلفة المحضرة من البكتين ازدادت من ٦٢.٤% - ١٢٠.٤% عند زيادة تركيز البكتين من ٥٠% - ٢٠.٥% والكليسيرول من ٥٠% - ٧٠% .
النسبة المئوية للإذابة بالماء :

يوضح الشكل (٤) النسب المئوية للإذابة لاغلفة البكتين المحضرة بتركيز ١٪ والكليسيرول بتركيز ٥٠٪ و ٧٠٪ بالماء ، اذ بینت النتائج ارتفاع النسبة المئوية لذوبان اغلفة البكتين تركيز ١٪ بكتين و ٧٠٪ كليسيرول البالغة ٧٩.٧٪ مقارنة مع الاغلفة المحضرة بتركيز ١٪ بكتين و ٥٠٪ كليسيرول التي كانت ٧٧.٨٪.



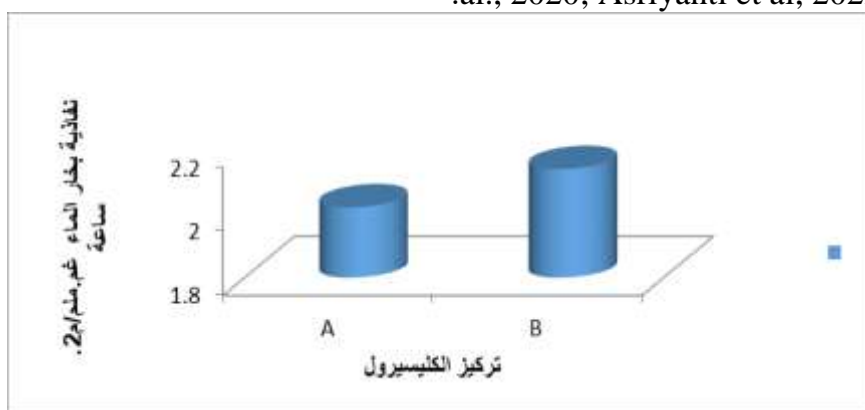
شكل (٤) الاذبة بالماء % لاغلفة البكتين A : بكتين ١٪ وكليسيرول ٥٠٪ ، B : بكتين ١٪ وكليسيرول ٧٠٪

اتفقنا النتائج مع متوصليه (٢٠٢٢) Rahmadhia Karlan and لاحظوا زيادة الاذابة لاغلفة البكتين من ٦٢.٤٪ - ٨٧.٨٪٪ عند زيادة تركيز البكتين من ١٥٪ - ٣٥٪ والكليسيرول من ١٠٪ - ٣٠٪ وعزى السبب الى ان البكتين مادة محبة للماء و ان زيادة تركيزه ادت الى زيادة قابلية الاذابة في الماء اضافة الى ان زيادة تركيز الكليسيرول ادت الى زيادة حركة السلسل وقلة تماسك الغلاف وبالتالي زيادة نسبة الذوبان في الماء.

تعد الاغلفة القابلة للأكل ذات القابلية العالية للذوبان مثالية للاستعمال في المنتجات الغذائية الجاهزة للأكل بسبب سهولة ذوبانها عند الأكل. تتأثر قابلية التحلل الحيوي للغلاف أيضاً بقيمة العالية للذوبان ومن ناحية أخرى ، تعد قيمة الذوبان المنخفضة أحد أهم المتطلبات للأغلفة القابلة للأكل خاصة المستعملة في تغليف المواد الغذائية والتي تحتوي على نسبة عالية من الرطوبة Fernsisa et al., 2020; Cazon et al. ٢٠١٧ .) .

نفاذية بخار الماء

يظهر الشكل (٥) نتائج نفاذية بخار الماء لاغلفة البكتين المحضر بتراكيز ١ % والملونة بالكليسيرول بتراكيز ٥٠ و ٧٠ %، اذ ازدادت مع زيادة الكليسيرول من ٥٠ - ٧٠ % ، اذ سجلت أعلى نفاذية لبخار الماء ٢.١٤ غم.لم / م . ساعة كيلوباسكال للأغلفة المحضر من ١% بكتين و ٧٠ % كليسيرول، بينما بلغت نفاذية الغلاف المحضر من بكتين ١% و ٥٠ % كليسيرول ٢.٠٢ غم . لم / م . ساعة كيلوباسكال، عزي السبب الى العلاقة الطردية بين تركيز المادة الدالة في تحضير الغلاف او الطلاء وبين النفاذية، كذلك ادت زيادة تركيز الكليسيرول الى زيادة مساحة الحجم الحر بين الجزيئات وسهولة حركة سلاسل البوليمر ونتيجة لذلك تزداد المسامية داخل المادة مما يزيد من نفاذية الغلاف او الطلاء لبخار الماء (Bharti et al., 2020; Asriyanti et al, 2022)



شكل (٥) نفاذية بخار الماء لاغلفة البكتين A : بكتين ١% و كليسيرول ٥٠ %، B : بكتين ١% و كليسيرول ٧٠ % :

اتفقنا النتائج مع ما لاحظه Galus et al (٢٠١٣) اذ بين ان نفاذية بخار الماء ازدادت للأغلفة المحضر من البكتين من ١.٢١ - ١.٦٨ غم . لم / م . ساعة كيلو باسكال عند زيادة تركيز البكتين من ١.٥ - ٢.٥ % و الكليسيرول من ٥٠ -

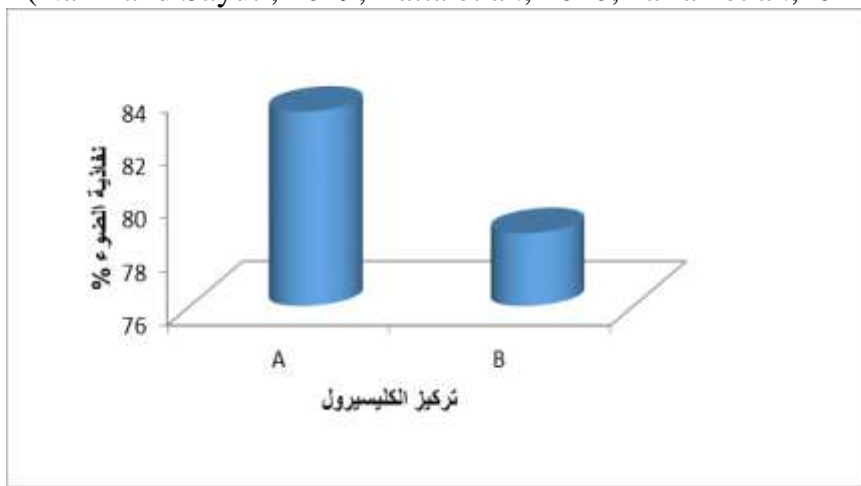
الخصائص الفيزيوكيميائية واليكانيكية والتشخيصية لاغلفة البكتين ...، تغمر رباعي وآخرون

%٧٠ ، وعزمي السبب إلى طبيعة البكتين المحبة للماء والى زيادة حرقة سلاسل البوليمر نتيجة زيادة الحجم الحر بسبب زيادة تركيز الكليسيروول. واتفقت النتائج مع ما توصل اليه Karlan and Rahmadhia (٢٠٢٢) بان نفاذية بخار الماء لاغلفة البكتين المستخلص من البرتقال ازدادت ٩.٥٣ غم . ملم / ٢ م . ساعة كيلو بascal عند زيادة الكليسيروول من %٣٠ - %١٠ .

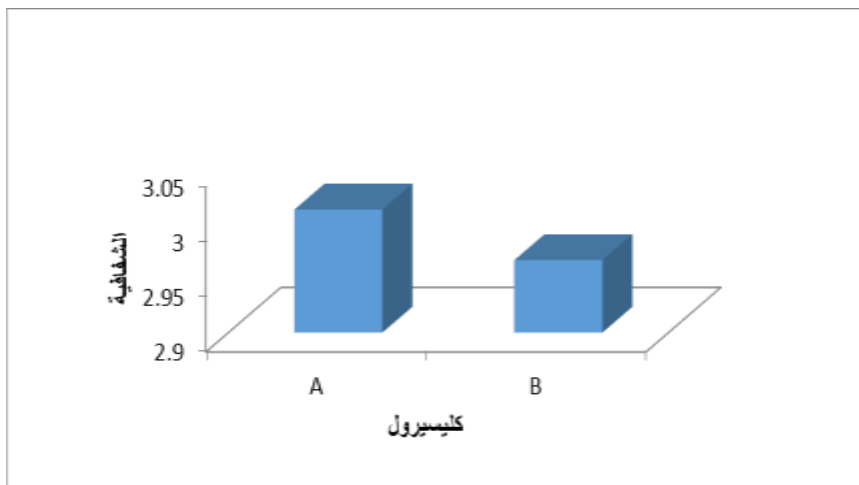
تقدير نفاذية الضوء والشفافية للاغلفة

اشار الشكل (٦) الى النسب المئوية لنفاذية الضوء المقدرة عند الاطوال الموجية من ٢٠٠ - ٩٠٠ نانومتر لاغلفة البكتين بتركيز ١% مع كليسيروول بتركيز ٥٠٪٪٧٠ ، اذ لوحظ من الشكل ان النفاذية انخفضت وبلغت %٧٨.٧٣٨ للأغلفة المحضرة بتركيز كليسيروول %٧٠، في حين بلغت %٨٣.٣٠٧ للأغلفة المحضرة بتركيز بكتين ١% وكليسيروول %٥٠، في حين يلاحظ من الشكل (٧) انخفاض الشفافية مع زيادة كل من تركيز الكليسيروول اذ بلغت ٢.٩٦٦ عند تركيز %٧٠ كليسيروول بينما بلغت الشفافية ٣.٠١٢ عندما كان تركيز البكتين ١% و الكليسيروول ٥٪٪٧٠ ، ويعزى السبب الى ان زيادة تركيز الكليسيروول من %٥٠ - %٧٠ ساهمت في انخفاض نفاذية الأغلفة للضوء بسبب زيادة المواد الصلبة الذائبة وتركيب وحجم جزيئات الكليسيروول الذي يعرقل نفاذية الضوء عبر الأغلفة

(Nazir and Sayuti, 2019; Matta et al., 2020; Karlan et al., 2022).



شكل (٦) نفاذية اغلفة البكتين للضوء A : بكتين ١% وكليسيروول %٥٠ ، B : بكتين ١% وكليسيروول %٧٠



شكل (٧) شفافية اغلفة البكتين للضوء A : بكتين ١٪ و كلسيروف ٥٠٪
بكتين ١٪ و كلسيروف ٧٠٪

اتفقنا هذه النتائج مع ما توصل اليه Galus et al (٢٠١٣) اذ لاحظوا انخفاض نفاذية الضوء لاغلفة البكتين من ٩٠.٢ - ٨٩.٥٪ عند زيادة تركيز البكتين من ١.٥ - ٢.٥٪ والكلسيروف من ٥٠ - ٧٠٪، في حين وجد Asfaw et al (٢٠٢٣) ان عتمة اغلفة البكتين ازدادت بزيادة تركيز البكتين من ٣ - ٥٪ والكلسيروف من ١٥ - ٢٥٪ اذ بلغت ٦٧٦ - ١-A mm ، وعزى السبب الى ان زيادة تركيز البكتين ادت الى تشكيل شبكة بوليمر كثيفة واكثر سمك ، وكذلك زيادة تركيز الكلسيروف ادت الى زيادة المواد الصلبة الذائبة وبالتالي انخفاض نفاذية الضوء للأغلفة.

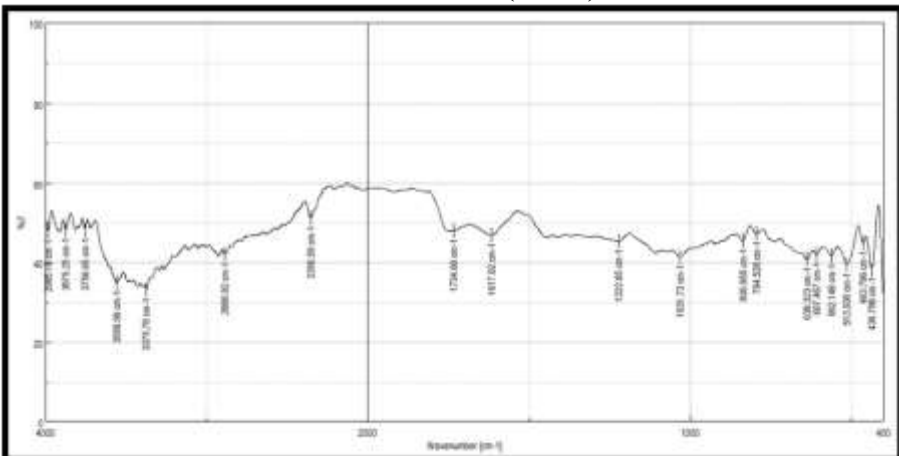
الاختبارات التشخيصية التشخيص الطيفي باستخدام الاشعة تحت الحمراء (FTIR)

يوضح الشكل (٨) مرئي المجاميع الفعالة للغلاف المحضر من البكتين ١٪ و ٥٠٪ الكلسيروف، أظهر المرئي الطيفي وجود نطاق امتصاص عند العدد الموجي ٣٤٢٩.٧٨ سـ^{-١} يُعزى إلى اهتزازات التمدد لرابطة الهيدروكسيل -OH التي تعكس وجود مجموعات هيدروكسيلية ناتجة عن القفاعلات بين مونومرات البكتين ، وكذلك تعود جزئياً إلى مجموعات الهيدروكسيل في جزيئات الكلسيروف ، ظهر نطاق امتصاص عند المديات ٢٩١٩.٧ - ٢٣٥٨.٥٢ سـ^{-١} التي تشير إلى اهتزازات تمدديّة لرابطة C-H في المجموعات الاليافانية، وتحديداً مجموعات الميثيل المرتبطة بالسلسل الجزيئية لبوليمر البكتين كما ظهرت قمة ضمن النطاق ١٧٥٠ -

الخصائص الفيزيوكيميائية والبيكانيكية والتشخيصية للأغلفة البكتين ...، تغطى رباعي وآخرون

١٦٣١.٤٨ سم⁻¹ يمكن إرجاعها إلى نوعين من الاهتزازات الأول يمثل اهتزازات التمدد لرابطة الكاربونييل C=O في مجموعة استر الميثيل CO-CH₃ والثاني يعزى إلى الاهتزازات غير المتماثلة لمجموعة الكاربوكسيل الأيونية -COO- مما يعكس وجود كل من المجموعات المؤسّرة وغير المؤسّرة في بنية البكتين ، أما العدد الموجي ١١٠٨.٨٧ سم⁻¹ أشار إلى وجود روابط الإثير C-O-C التي تعد من السمات المميزة لتركيب البكتين. اتفقت النتائج مع ماتوصل اليه Darni et al (٢٠١٧) عند تشخيص المجاميع الفعالة للأغلفة المحضرة من البكتين والكليسيرول والسوربيتول ، كذلك توافقت النتائج مع ماتوصل اليه Asfaw et al (٢٠٢٣) عند تشخيصهم المجاميع الفعالة في الأغلفة المحضرة من البكتين . و أشار (Weldearegay et al ٢٠٢٤) إلى ان الكليسيرول يمتلك مدى عريض يتراوح بين ٣٢٠٠ – ٣٦٠٠ سم⁻¹ يشير إلى مجاميع O-H ومجاميع اليفاتية H- C- O تقع ضمن المدى ٢٨٠٠ – ٢٩٥٠ سم⁻¹ اما مجاميع C-O تظهر ضمن الاعداد الموجية ١٠٠٠ – ١١٠٠ سم⁻¹ وهي مميزة للكحولات .

تعد تقنية مطيافية الاشعة تحت الحمراء من التقنيات المهمة المستعملة في تشخيص المجاميع الفعالة للبوليمرات الناتجة من التفاعل الكيميائي للمواد المكونة للغلاف (Suderman, Mhd. ٢٠١٩)

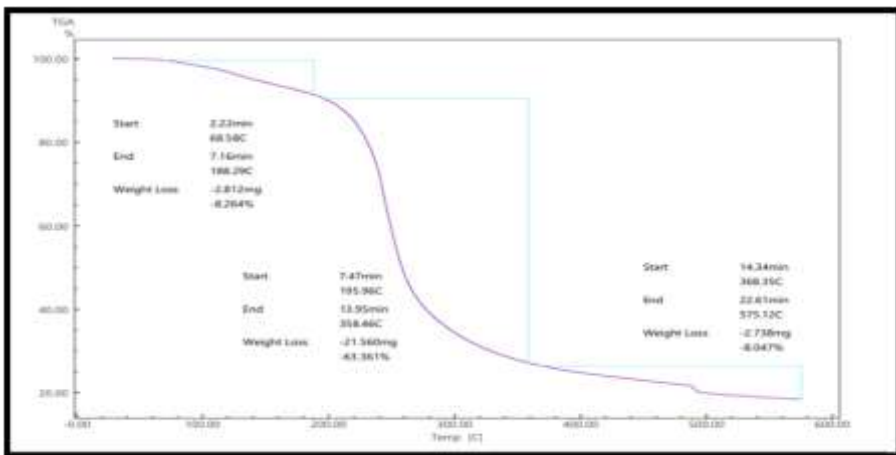


شكل(٨) مرسم طيف الاشعة تحت الحمراء لغلاف البكتين ١ % و ٥ % كليسيرول التحلل الحراري الوزني (TGA)

يشير الشكل (٩) إلى مرسم التحلل الحراري الوزني لغلاف المحضر من البكتين بتركيز ١ % والكليسيرول بتركيز ٥ % ، اذ لوحظ تحلل وفقدان في وزن

البوليمر على مراحل عدّة : الاولى حدث فيها فقدان للوزن بمقدار ٨.٢٤٦ % عند درجة حرارة ٦٨.٥٨ - ١٨٨.٢٩ م ويعود السبب الى تبخّر الماء والجزء الاكبر من الكليسيرول ، اما المرحلة الثانية فقد كان مقدار فقدان في الوزن ٦٣.٣٦١ % عند درجة حرارة ١٩٥.٩٦ - ٣٥٨.٤٦ م وهذا فقدان يمثل التحلل الحراري للبكتين والجزء المتبقى من الكليسيرول ، اما المرحلة الثالثة بلغ مقدار فقدان ٨.٠٤٧ % عند درجة حرارة ٣٦٨.٣٥ - ٥٧٥.١٢ م وهذا فقدان يمثل التحلل الكامل للبكتين الكاربونية الناتجة عن تحلل البكتين. وجاءت النتائج مقاربة لما وجده Siracusa et al (٢٠١٨) اذ وجد ان عملية التحلل الحراري الوزني لاغلفة البكتين كانت على ثلاث مراحل ، كذلك اتفقت النتائج مع ما ذكره Asfaw et al (٢٠٢٣) حول التحلل الحراري الوزني لاغلفة البكتين.

بعد التحلل الحراري TGA ضروريًا لتحديد الخواص الحرارية للمواد وتحللها الحراري وفقدان وزنها عند درجات حرارة مختلفة ، يمثل المرسم الحراري وزن العينة المتبقى بالنسبة لتغير درجة الحرارة ويعطي معلومات نوعية وكمية عن العينة.

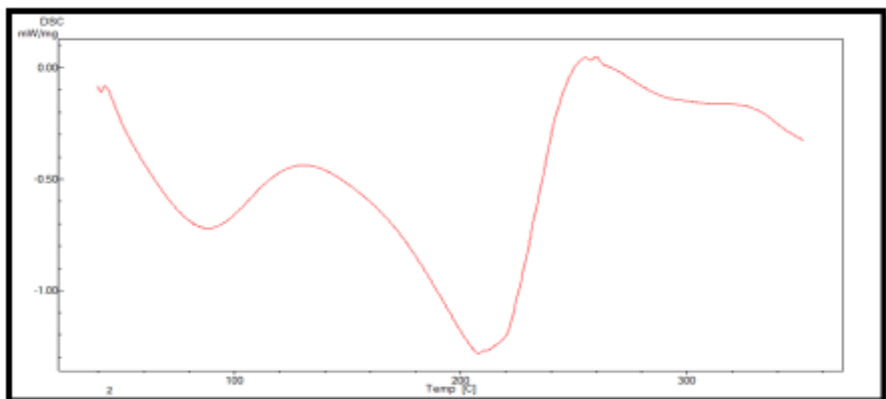


شكل (٩) مرسم التحلل الحراري الوزني لغلاف البكتين ١% مع ٥% كليسيرول التحلل الحراري التفاضلي المسعرى (DSC)

يظهر الشكل (١٠) نتائج DSC للغلاف المحضر من البكتين بتركيز ١% والكليسيرول بتركيز ٥% اذ اشار الى مناطق عدّة وتحولات في المنحنى منها منطقة الانخفاض الاول كانت في مدى حراري من درجة حرارة المختبر الى حوالي درجة حرارة ١٠٠ م اذ لوحظ انخفاضاً كبيراً في تدفق الحرارة وظهور قمة للأسفل ،

هذا يشير الى فقدان الماء او المذيب المتبقى من الغلاف، كل من البكتين والكليسيرول محبان للماء لذا يتم امتصاص بعض الرطوبة من الجو ويعمل التسخين على تبخر هذا الماء لذا فهي عملية ماصة للحرارة، اما منطقة التحول الثاني تكون في مدى حراري تقربياً بين درجة $150 - 200$ ° وتنظر تحولاً ماصاً للحرارة ولكنها أقل من الاول وقد يشير الى انتقال زجاجي Glass Transition Temperature Tg اذ يظهر البكتين انتقالاً زجاجياً وكذلك وجود الكليسيرول كمادة ملدنة من شأنه ان يخفض درجة حرارة الانتقال الزجاجي للبكتين وهذه القمة تمثل Tg المخفض للغلاف وقد تحدث تغييرات في البنية الداخلية للأغلفة في هذا المدى الحراري، يلاحظ في المدى الحراري بعد 220 ° ارتفاعاً حاداً في تدفق الحرارة وظهور قمة للأعلى تشير إلى حدث باعث للحرارة الذي يكون مرتبطاً اما بتحلل المادة اي بداية تحلل او احتراق البكتين والكليسيرول وهي عملية باعثة للحرارة او حدوث تفاعلات كيميائية بين البكتين والكليسيرول او نواتج تحللها مما يؤدي إلى انباث الحرارة، يظهر المنحنى منطقة أكثر استقرار بعد حدوث التحلل الرئيسي وقد تستمر بعض التغييرات الطفيفة في تدفق الحرارة، اما الكليسيرول فإنه يعمل كملدن للبكتين فهو يزيد من مرونته ويقلل من درجة حرارة الانتقال الزجاجي مما يفسر احتمال ظهور قمة ماصة للحرارة أقل حدة في مدى حراري متوسط، قد يؤثر الكليسيرول على درجة حرارة التحلل الحراري للبكتين في بعض الحالات مما يؤدي إلى تحلل عند درجة حرارة أقل، اتفقت النتائج مع ما توصل إليه Siqueira et al. (2022) عند دراستهم تحليل DSC لاغلفة البكتين ، كذلك لاحظ(2017) Jantrawut 115 ° لاغلفة البكتين منخفض الميثوكسيل ناتجة عن تبخر الماء من شبكة البكتين.

تقيس تقنية المسح التفاضلي DSC تدفق الحرارة المرتبط بالتغييرات الفيزيائية والكميائية التي تحدث في المادة عند تسخينها أو تبریدها وذلك كدالة لدرجة الحرارة أو الزمن يعكس المنحنى الناتج كمية الحرارة التي تمتصلها العينة اذ تظهر التفاعلات الماصة للحرارة على شكل قمم متوجهة للأسفل وتشير الى التبخر او الذوبان او الانتقال الزجاجي بينما تظهر التفاعلات الطاردة للحرارة على شكل قمم متوجهة للأعلى وتشير الى التبلور او التحلل او التفاعلات الكيميائية (2020,.Akash et al.,2020)



شكل (١٠) التحلل الحراري التفاضلي لغلاف البكتين ١٪ مع ٥٪ كليسيرول

References

- Akash, M. S. H., Rehman, K., Akash, M. S. H., & Rehman, K. (2020). Differential scanning calorimetry. Essentials of pharmaceutical analysis, 199-206.
- Apriliyani, M. W.; Purwadi; Abdul Manab; Mulia W. A. and Alvira, D. K.(2020). Characteristics of Moisture Content, Swelling, Opacity and Transparency with Addition Chitosan as Edible Films/Coating Base on Casein, Advance Journal of Food Science and Technology 18(1): 9-14.
- Asriyanti, E. W., Munisah, M., Dewanto, E. R., & Mujiburohman, M.(2022). Effect of Temperature, Concentration, and Type of Plasticizer on Edible Pectin Film Characteristics of Mango Peel (*Mangifera indica L.*). CHEMICA : Jurnal Teknik Kimia 9, (1) : 1-9.
- Asfaw,W. A. ;Tafa, K. D. ,Satheesh,N.(2023). Optimization of citron peel pectin and glycerol concentration in the production of edible film using response surface methodology, journal of Heliyon, 9 : 1-11.
- Bharti, S. K.; Pathak, V.; Alam, T.; Arya, A.; Basak, G.; and Awasthi, M. G. (2020). Materiality of edible film packaging in muscle foods: A worthwhile conception. Journal of Packaging Technology and Research, 4, (1): 117-132.
- Jancikova, S.; Dordevic, D.; Jamroz, E.; Behalova, H. and Tremlova,B. (2020). Chemical and physical characteristics of edible films, based on κ -and ι -carrageenans with the addition of lapacho tea.
- Jantrawut, P., Chaiwarit, T., Jantanasakulwong, K. Brachais, C., & Chambin, O. (2017). Effect of plasticizer type on tensile property and in vitro indomethacin release of thin films based on low methoxyl pectin. Polymers, 9(7): 289.
- Joshi, P. R., & Lee, Y. P. (2024). Identification of $\text{HOC}\cdot\text{HC(OH)}$, $\text{HOCH}_2\text{C}\cdot\text{O}$, and $\text{HOCH}_2\text{CH}_2\text{O}\cdot$ intermediates in the

- reaction of H+ glycolaldehyde in solid para-hydrogen and its implication to the interstellar formation of complex sugars. Journal of the American Chemical Society, 146, (33): 23306-23320.
- Cazón, P.; Velazquez, G.; Ramírez, J. A. and Vázquez, M. (2017). Polysaccharide-based films and coatings for food packaging: A review. Food Hydrocolloids, 68: 136-148.
- Costanza, V., Bonanomi, L., Moscato, G., Wang, L., Choi, Y. S., & Daraio, C. (2019). Effect of glycerol on the mechanical and temperature-sensing properties of pectin films. Applied Physics Letters, 115(19).
- Darni, Y., Utami, H., Septiana, R., & Fitriana, R. A. (2017). Comparative studies of the edible film based on low pectin methoxyl with glycerol and sorbitol plasticizers. Jurnal Bahan Alam Terbarukan, 6(2): 158-167.
- Dang, G., Li, J., Yin, C., Wang, W., Zhang, K., Zhong, R., ... & Schroyen, M. (2024). Deciphering Pectin: A Comprehensive Overview of Its Origins, Processing, and Promising Utility. ACS omega, 10(1), 1-15.
- Dhanapal, A., Sasikala, P., Rajamani, L., Kavitha, V., Yazhini, G., Banu, M.S. (2012). Edible films from polysaccharides. Food Science and Quality Management, 3: 9-17.
- Febriyanti, R., Elma, M., Nata, I. F., Saraswati, N. K. D. A., and Simatupang, P. F. A. (2023). Hydrogel Films Derived Water Hyacinth Stems And Banana Peels Pectin: Tensile Performance And Swelling Ability. Elkawnie: Journal of Islamic Science and Technology, 9 (1): 81-98.
- Foschi, E.; Bonoli, A. (2019). The Commitment of Packaging Industry in the Framework of the European Strategy for Plastics in a Circular Economy. Adm. Sci ,9, 18.

- Frasasca, S.; Rostini,L. ; Asep Agus Handaka Suryana, Rusky Intan Pratama(2020). Effect of Addition Glycerol Plasticizer to the Characteristics of Catfish (Pangasius sp.) Surimi Protein Edible Film World News of Natural Sciences 30(2) :243-256.
- Galus, S., Uchanski, P., and Lenart, A. (2013). Colour, mechanical properties and water vapour permeability of pectin films. *Acta Agrophysica*, 20 (3): 375- 384.
- Gheorghita, R.; Amariei, S.; Norocel, L. and Gutt, G. (2020). New edible packaging material with function in shelf life extension:applications for the meat and cheese industries. *Foods*, 9(5), 562. 1-13.
- Gao, C.; Pollet, E. and Avérous, L. (2017). Properties of glycerol-plasticized alginate films obtained by thermo-mechanical mixing. *Food Hydrocolloids*, 63: 414-420.
- Huang, Q.; Wan, C.; Zhang, Y.; Chen, C.; Chen, J.(2021). Gum Arabic Edible Coating Reduces Postharvest Decay and Alleviates Nutritional Quality Deterioration of Ponkan Fruit during Cold Storage. *Front. Nutr*, 8, 717596. [CrossRef]
- Kannan, A., Dheeptha, M., & Sistla, Y. S. (2023). Development of Pectin and Sodium Alginate Composite Films with Improved Barrier and Mechanical Properties for Food-Packaging Applications. *Engineering Proceedings*, 37(1), 80.
- Karlan, L. S., & Rahmadhia, S. N. (2022). Physicochemical characteristics of baby java orange peel pectin (*Citrus sinensis*) And corn starch-based edible film with glycerol plasticizer. *Jurnal Teknologi Pertanian*, 23(2), 119-128.
- Khairunnisa, S.; Junianto; Zahidah; Rostin,L.(2018).The effect of glycerol concentration as a plasticizer on edible films made from alginate towards its physical characteristic Internatinol Scientific Journal,112: 130-141.

- Kusuma, I., Rahmadhia, S. N., & Ma'arif, A. (2024). Polysaccharides based materials as active packaging for food applications: A review. In BIO Web of Conferences (148) : 04001. EDP Sciences.
- Mahmoudian, A. (2020). Chitosan-starch film containing pomegranate peel extract and Thymus kotschyanus essential oil can prolong the shelf life of beef. *Meat Science*, 163, 108073.
- Marangoni Júnior, L., Fozzatti, C. R., Jamróz, E., Vieira, R. P., and Alves, R. M. V. (2022). Biopolymer-based films from sodium alginate and citrus pectin reinforced with SiO₂. *Materials*, 15(11), 3881.
- Marangoni Júnior, L., Rodrigues, P. R., da Silva, R. G., Vieira, R. P., and Alves, R. M. V. (2021). Sustainable packaging films composed of sodium alginate and hydrolyzed collagen: preparation and characterization. *Food and Bioprocess Technology*, 14, 2336-2346.
- Matta, E., and Bertola, N. (2020). Development and characterization of high methoxyl pectin film by using isomalt as plasticizer. *Journal of Food Processing and Preservation*, 44(8), e14568.
- Mehdizadeh, T.; Tajik, H.; Langroodi, A. M.; Molaei, R. And Niroomand, F.; Khosravani, A. and Younesi, H. (2016). Fabrication and properties of cellulose-nanochitosan biocomposite film using ionic liquid. *Cellulose*, 23(2): 1311-1324.
- Mendelovici, E., Frost, R. L. and Kloprogge, T. (2000). Cryogenic Raman spectroscopy of glycerol. *Journal of Raman Spectroscopy*, 31(12): 1121-1126.
- Miran, M., Salami, M., Emam-Djomeh, Z., Moreno, F. J., & Montilla, A. (2023). Isolation and structural evaluation of

- pectin, pectin-based polymer blends, composites, IPNs and gels. *Handbook of Natural Polymers*, Volume 1, 369-398.
- Nair, M. S., Tomar, M., Punia, S., Kukula-Koch, W., & Kumar, M. (2020). Enhancing the functionality of chitosan-and alginate-based active edible coatings/films for the preservation of fruits and vegetables: A review. *International Journal of Biological Macromolecules*, 164: 304-320.
- Nazir, N., and Sayuti, K. (2019). Application of Pectin Extracted from Cocoa Pod in the Production of Edible Film. In IOP Conference Series: Earth and Environmental Science (Vol. 347, No. 1, p. 012060). IOP Publishing.
- Niroomand, F.; Khosravani, A. and Younesi, H. (2016). Fabrication and properties of cellulose-nanochitosan biocomposite film using ionic liquid. *Cellulose*, 23(2): 1311-1324.
- Rachtanapun, P. and Rattanapanone, N. (2011). Synthesis and characterization of carboxymethyl cellulose powder and films from Mimosa pigra. *Journal of Applied Polymer Scienc*. 122(5): 3218-3226.
- Racmayai, N. and Husni, A. (2020). Effect of different formulations on characteristic of biobase alginate edible films as biodegradable packaging. E3S Web of conferences 147, 03003. 3rd ISMFR.
- Rajarajeswari, P., Sreevani, M., & Suryakumari, P. L. (2021, November). Secure Cloud Risk Architecture analysis for Mobile Banking system and its performance analysis based on Machine learning approaches. In *Journal of Physics: Conference Series* (Vol. 2089, No. 1, p. 012007). IOP Publishing.
- Rossi-Márquez, G.; Helguera, M.; Briones, M.; Dávalos-Saucedo, C.A.; Di Pierro, P.(2023).Edible Films and Coatings Applied in the Food Industry . *Coatings*, 13, 670.

- Saklani, P.; Siddhnath, D. S. and Singh, S. M. (2019). A review of edible packaging for foods. *Int. J. Curr. Microbiol. App. Sci*, 8(07): 2885-2895.
- Siracusa, V., Romani, S., Gigli, M., Mannozzi, C., Cecchini, J. P., Tylewicz, U., & Lotti, N. (2018). Characterization of active edible films based on citral essential oil, alginate and pectin. *Materials*, 11(10), 1980.
- Suderman, N.; Mhd, N. (2019). Optimization of chicken skin gelatin film production with different glycerol concentrations by response surface methodology (RSM) approach, *J. Food Sci. Technol.*
- Subroto, E., Indiarto, R., Pangawikan, A. D., and Prakoso, F. (2021). Production and Characteristics of Composite Edible Films Based on Polysaccharides and Proteins. *International Journal*, 9 (2).
- Siqueira, R. A., Veras, J. M. L., Sousa, T. L. D., Farias, P. M. D., Oliveira Filho, J. G. D., Bertolo, M. R. V. and Plácido, G. R. (2022). Pequi mesocarp: a new source of pectin to produce biodegradable film for application as food packaging. *Food Science and Technology*, 42, e71421.
- Weldearegay, S. G., Gaddala, B., Fentie, E. G., Sundramurthy, V. P., and Priya, L. S. (2024). Valorization of waste prickly pear peels: optimization for pectin extraction, characterization, and development of edible film. *Biomass Conversion and Biorefinery*, 1-23.